

Construction of Polyurethane Polymeric-based Nano-carriers for Curcumin in Cancer Therapy

Sharafaldin Al-Musawi¹, Hosein Naderi-Manesh^{2*}, Zuhair Mohammad Hassan³, Hamid Yeganeh⁴, Safura Nikzad⁵, Hamidreza Kheiri Manjili⁶

1- Ph.D. Candidate, Department of Nanobiotechnology, Faculty of Biological Sciences, Tarbiat Modares University, Tehran, Iran

2- Professor, Department of Biophysics, Faculty of Biological Sciences, Tarbiat Modares University, Tehran, Iran

3- Professor, Department of Immunology, Faculty of Medical Sciences, Tarbiat Modares University, Tehran, Iran

Tehran, Iran

4- Professor, Department of Polyurethane, Iran Polymer and Petrochemical Institute, Tehran, Iran

5- Assistant Professor, Department of Medical Physics, Faculty of Medical Sciences, Hamedan University of Medical Sciences, Hamedan, Iran

6- Assistant Professor, Department of Pharmaceutical Nanotechnology, Faculty of Pharmacy, Zanjan University of Medical Sciences, Zanjan, Iran

*Corresponding Address: P.O.Code: 1411713116, Department of Biophysics, Faculty of Biological Sciences, Tarbiat Modares University, Tehran, Iran
Email: Naderman@modares.ac.ir

Received: 14/Jan/2014, Accepted: 19/Oct/2014

Abstract

Objective: In order to improve the water solubility and bioavailability of curcumin in cancer therapy, we prepared and tested a novel waterborne cationic polyurethane (PU) as a nano-carrier for curcumin loading (CU-PU). We studied the effect of this prepared nano-drug on melanoma (F10B16) and fibroblasts cells (L929).

Methods: Morphology, size and cell internalization ability of the prepared nanoparticles were analyzed by zetasizer, SEM, AFM and fluorescent microscopy, respectively. We anticipated that curcumin was loaded in the hydrophobic core of the PU carrier. Next, the suitable dose and therapeutic effects of CU-PU for both skin cancer and normal cell lines were evaluated by the MTT assay and real-time PCR.

Results: The average diameters and polydispersity of the nanoparticles were 62.37 ± 1.7 nm and 0.080 ± 2.1 at 25°C , respectively. The drug encapsulation efficiency was $87 \pm 0.2\%$. The morphological analysis confirmed both a spherical shape and good dispersion without remarkable aggregation. The MTT assay results showed that the IC₅₀ at 24 hours was $36.2 \mu\text{M}$, whereas it was $25.4 \mu\text{M}$ at 48 hours. Real-time PCR results indicated that the CU-PU significantly decreased mRNA expressions of VEGF, Bcl-2, MMP-9 and COX-2 genes. An increase in mRNA expression of the BAX gene was also observed.

Conclusion: Our result provided acceptable evidence for cell proliferation inhibition and the apoptotic effect of CU-PU on skin cancer cells. There were no adverse effects detected for normal cells.

Keywords: Nanoparticle, Polyurethane, Curcumin, Cancer, Nanosystem

Modares Journal of Medical Sciences: *Pathobiology*, Vol. 17 (2014-2015), No. 4, Pages: 25-39

ساخت نانوسامانه دارویی کورکومین بر پایه نانو حامل پلیمری پلی‌یورتان به منظور بررسی اثر ضد سرطانی آن

سید شرف الدین الموسوی^۱، حسین نادری منش^{۲*}، زهیر محمد حسن^۳، حمید یگانه^۴، صفورا نیکزاد^۵، حمید رضا خیری منجیلی^۶

- ۱- دانشجوی دکتری تخصصی، گروه نانوپیو-تکنولوژی، دانشکده علوم زیستی، دانشگاه تربیت مدرس، تهران، ایران
- ۲- استاد، گروه بیوفیزیک، دانشکده علوم زیستی، دانشگاه تربیت مدرس، تهران، ایران
- ۳- استاد، گروه ایمنولوژی، دانشکده علوم پزشکی، دانشگاه تربیت مدرس، تهران، ایران
- ۴- استاد، گروه پلی‌یورتان، پژوهشگاه پتروشیمی و پلیمر ایران، تهران، ایران
- ۵- استادیار، گروه فیزیک پزشکی، دانشکده پزشکی همدان، همدان، ایران
- ۶- استادیار، گروه نانوفناوری دارویی، دانشکده داروسازی، دانشگاه علوم پزشکی زنجان، زنجان، ایران

*آدرس نویسنده مسئول: ایران، تهران، کدپستی: ۱۴۱۱۷۱۳۱۱۶، دانشگاه تربیت مدرس، دانشکده علوم زیستی، گروه بیوفیزیک
Email: Naderman@modares.ac.ir

پذیرش مقاله: ۹۳/۰۷/۲۷

دریافت مقاله: ۹۲/۱۰/۲۴

چکیده

هدف: برای بهبود حلالیت و فراهمی زیستی کورکومین در درمان سرطان، یک پلی‌یورتان کاتیونی نوین و آب پایه ساخته شد و به عنوان یک نانو حامل به منظور بارگیری کورکومین، استفاده شد. در این تحقیق اثر نانو داروی آماده شده روی ملانوما (F10B16) و فیبروبلاست (L929) بررسی شد.

مواد و روش‌ها: ریخت شناسی، اندازه و توانایی ورود به سلول نانو ذرات ساخته شده، به ترتیب با استفاده از اندازه‌گیرنده زتا، میکروسکوپ الکترونی روبیشی انتشار میدان، میکروسکوپ نیروی اتمی و میکروسکوپ فلورسانس بررسی شد. به این ترتیب پیش‌بینی شد که کورکومین در هسته آب‌گریز حامل‌های پلی‌یورتان بارگیری شود. بعد از تعیین غلط ناسناسب و انجام آزمون ورود به سلول، میزان تاثیرگذاری بر سلول‌های سرطانی و سالم با آزمون MTT و Real time PCR بررسی شد.

نتایج: قطر نانوذره بارگیری شده و پراکنش آن، در دمای ۲۵ درجه سانتی‌گراد به ترتیب 0.80 ± 0.08 و 0.72 ± 0.04 نانومتر بود. میزان بازده کیپسول‌سازی کورکومین در پلی‌یورتان 2.0 ± 0.87 درصد است. مطالعات ریخت شناختی نیز، کروی شکل بودن و پراکنش مناسب نانوذرات، بدون تجمع قابل توجه را تأیید کرد. نتایج حاصل از آزمون MTT نشان می‌دهد که IC₅₀ محاسبه شده برای زمان ۲۴ و ۴۸ ساعت به ترتیب 2.36 ± 0.4 و 2.5 ± 0.4 مایکرومولار است. نتایج Real time PCR نشان می‌دهد که نانوسامانه به مقدار قابل توجهی میزان mRNA ژن‌های VEGF، MMP-9، Bcl-2 و COX-2 را کاهش و BAX را افزایش می‌دهد.

نتیجه‌گیری: نتایج بررسی حاضر شواهد قابل قبولی در مورد اثر بازدارنده تکثیر سلولی و القای مرگ برنامه‌ریزی شده نانوسامانه دارویی کورکومین، روی سلول‌های سرطان پوست نشان داد در حالی که اثر قابل توجهی روی سلول‌های سالم مشاهده نشد.

کلیدواژگان: نانوذره، پلی‌یورتان، کورکومین، سرطان، نانوسامانه

مجله علوم پزشکی مدرس: آسیب شناسی زیستی، دوره ۱۷، شماره ۴، زمستان ۱۳۹۳، صفحات ۲۵-۳۹

بررسی اثر ضد سرطانی نانوسامانه دارویی کورکومین

مقدمه

مرحله سخت از واکنش ترکیبات ایزوسیاناتی با دی ال (DL) های کوچک مولکول حاصل می شود. تجمع گروه های یورتانی در مرحله سخت باعث ایجاد گروه های فیزیکی و جدایش مرحله - ای از بخش نرم که دارای درجه آزادی حرکت بالا است، می شود. از طریق ایجاد گروه های یونی (کاتیونی یا آنیونی) منشعب از زنجیره های عامل دار می توان پلی یورتان را به شکل نهایی آب پایه تهیه نمود. در کار حاضر با استفاده از یک دی ال حاوی گروه های کربوکسیلیک اسید، پلی یورتانی حاوی گروه های آویزان کربوکسیلیک اسید تهیه می شود. در نهایت در نتیجه خشی نمودن این گروه ها که در بدنه پلی یورتان تعییه شده است با یک نوع آمین نوع سوم، گروه های یونی که قابلیت آب پایه بودن پلی یورتان را فراهم می کند، ایجاد می شود [۲۱]. پلی یورتان تهیه شده برای ساخت نانومایسل های (Nanomicelle) حاوی کورکومین استفاده شده است. به این ترتیب که مولکول های کورکومین، براساس برهم کنش های آب گریز جذب پلی یورتان می شود. نانومایسل های پلی یورتان، همان طور که بیان شد پلیمرهایی آب پایه است که از قسمت آب گریز خود با دارو برهمکنش داده و به کمک قسمت های آب دوست خود در محلول آبی پراکنده می ماند.

هدف از این مطالعه تهیه نانو ترکیبی از کورکومین است که بتواند به صورت زیست سازگار و پایدار در بدنه عمل کند. بنابراین در ابتدا یک فرمولا سیون جدید از ترکیب نانوذره پلی یورتان به همراه کورکومین ساخته شد و بعد از بررسی ویژگی های آن از قبیل اندازه، شکل، میزان ورود به سلول و تعیین غلظت مناسب برای درمان، اثر آن بر درمان رده سلولی ملانومایی موشی (F10B16) و رده سلولی سالم فیبروبلاست موشی (L929) بررسی شده است.

امروزه یکی از مهم ترین عوامل مرگ و میر در جهان سرطان است، هر چند راه کارهای مختلفی برای درمان آن در نظر گرفته شده است اما اغلب این روش ها نه تنها برای سلول های سرطانی کشته است بلکه سلول های سالم را نیز تحت تأثیر قرار داده و منجر به مرگ یا آسیب زیاد به آن ها می شود [۱، ۲]. بنابراین تحقیقات بسیار گسترده در همه علوم برای یافتن راه هایی در راستای کاهش این آثار و بالا بردن نسبت درمان در حال انجام است.

یکی از این روش ها که در سال های اخیر مورد توجه و استفاده قرار گرفته ارسال دارو به تومور است که عبارت از کپسوله کردن (Encapsulation) دارو در یک ماده زیست سازگار (Biocompatible) و ارسال آن به محل تومور و آزادسازی در محل سلول های سرطانی است [۳، ۴]. کورکومین (Corcomin) ماده اصلی استخراج شده از روغن ساقه زیرزمینی (ریزم) زرچوبه دارای خواص دارویی فراوانی از قبیل خاصیت ضد اکسیدانت، جهش، تومور و سرطان، رگ زایی تومور، کلسترول و باکتری است [۵-۱۳]. اما این ماده نمی تواند به طور گسترده در درمان بیماری ها استفاده شود که این ناشی از حلالیت کم آن در آب و در نتیجه ضعف در دسترس بودن زیستی آن در محیط بدن است. برای رفع این مشکل تحقیقات بسیار زیادی انجام شده است که در آن ها از مواد زیست سازگار در بدنه به صورت ترکیب با کورکومین استفاده نموده اند. یکی از ترکیبات مفید، نانو ذرات پلیمری است که می تواند به صورت کپسولی اطراف ذرات کورکومین قرار گیرد و ترکیب ساخته شده در جریان خون تزریق شود [۱۴-۱۸]. یکی از انواع پلیمرهایی که می تواند برای این منظور استفاده شود پلی یورتان (Polyurethane) است که به علت خاصیت زیست سازگاری در دارو سازی و پژوهش کاربرد فراوان دارد [۱۹، ۲۰]. پلی یورتان یک پلیمر چند بخشی مشکل از دو مرحله نرم و سخت است. به طور معمول، مرحله نرم متیشکل از الیگومر های مختوم به گروه های هیدر کسیل است.

مواد و روش ها

ساخت نانوذره پلی یورتان

مول از ماده پلی تتراتریلین اتر گلایکول

۷۵ میلی گرم پلی یورتان وجود داشته باشد رقیق شد [۲۲].

تعیین ویژگی‌های ریخت شناختی و اندازه نانوذرات

با استفاده از میکروسکوپ‌های نیروی اتمی (Atomic Force Microscopy: AFM) و میکروسکوپ الکترونی رویشی انتشار میدان (Field Emission Scanning Electron Microscopy: FESEM) و همچنین پراکنش نوری دینامیک (Dynamic Light Scattering: DLS)، ویژگی‌های ریخت شناختی سطح و همچنین اندازه نانوذرات، بررسی شد. تصاویر CA Nanoscope III (Digital Instruments, Inc.) در دمای اتاق و با استفاده از یک قطره محلول تازه نانوذرات پلی یورتان به دست آمد. همچنین با استفاده از میکروسکوپ الکترونی رویشی انتشار میدان (Model S-4160 Hitachi، ژاپن) و روکش کردن نانوذرات پلی یورتان با طلا و قبل از انجام آزمایش، بررسی ریخت شناختی آن‌ها صورت گرفت. پراکنش و اندازه نانوذرات و همچنین بار سطحی آن‌ها با استفاده از اندازه گیرنده نانوزتا (Malvern Instruments Ltd، آمریکا) بررسی شد.

آماده‌سازی نانوذره کورکومین بارگیری شده با پلی یورتان

برای حلایت کورکومین، به منظور کاهش و حتی از بین بردن اثر سمیت حالات کورکومین، مانند DMSO (Dimethyl Sulfoxide) در تمامی فرآیندهای آزمایشی، این ماده در آب حل شد که این امر با استفاده از تویین ۸۰ به عنوان امولسی فایر (Emulsifier) و به نسبت ۲ درصد حجمی/ حجمی با آب، صورت پذیرفت. برای تهیه نانوسامانه با حداقل نسبت بارگیری دارو، نسبت‌های وزنی مختلفی از پلی یورتان نسبت به کورکومین قبل از انجام آزمایش بررسی و آزمایش شد، به این صورت که با استفاده از روش امواج فراصوت و پرورب سونیکیتور (Prob Sonicator) با توان

Polytetramethylene Ether Glycol: PTMEG) (که در خلا و در دمای زیر ۸۰ درجه سانتی گراد به مدت ۲۴ ساعت خشک شده است)، ۰/۰۶ مول از دی ام متیلول پروپیونیک اسید (Dimethylol propionic acid: DMPA) و به میزان N-Methyl-2-pyrrolidone: (NMP)، در یک فلاسک واکنش چهار دهانه که با همزن مکانیکی و کندانسور رفلکس (Reflux Condenser)، قیف قطره چکان و ورودی و خروجی N₂ تجهیز شده است، قرار داده شد. مخلوط در حال واکنش، در دمای ۷۵ درجه سانتی گراد و تحت فشار نیتروژن هم زده شد. بعد از انجام واکنش، به میزان ۰/۱۶ مول تولوئن دی ایزوسیانات (Toluene Diisocyanate: TDI) به داخل راکتور و با سرعتی که دما از ۷۵ درجه سانتی گراد بالاتر نرود، ریخته شد. سپس دما تا ۸۵ درجه سانتی گراد بالا برده شد و واکنش تا زمانی که غلظت گروه‌های ایزوسیاناتی به مقداری مشخص برسد ادامه یافت. سپس مخلوط تا دمای زیر ۶۰ درجه سانتی گراد سرد شد و ۰/۰۸ مول فنول (که با ۱۵۰ میلی لیتر استون رقیق شده است) به صورت قطره به راکتور اضافه شد تا گروه‌های ایزوسیانات آزاد از بین برود. واکنش تا زمانی ادامه می‌یابد که هیچ نقطه اوجی (Peak) مربوط به ایزوسیانات در طیف حاصل از FTIR (Fourier Transform Infrared Spectroscopy) نمونه‌های جمع آوری شده از مخلوط واکنش مشاهده نشود. پیش پلیمرهای بلوك شده پلی یورتان (Blocked PU pre-polymers) تا ۵۰ درجه سانتی گراد خنک شد و عامل خشی‌کننده‌تری اتانول آمین (۰/۰۶ مول) اضافه شد و واکنش تا تشکیل یونومر و به مدت ۳۰ دقیقه انجام شد. در نهایت آب دیونیزه به منظور ایجاد پراکنش در نانوذره و تحت هم زدن شدید اضافه شد. در نتیجه نانوذره پلی یورتان با پراکنش یکنواخت حاصل می‌شود که استون با قیمانده در محلول آن، تحت خلاکم در دمای ۶۰ درجه سانتی گراد خارج می‌شود. محلول نهایی با آب به طریقی که در هر میلی لیتر از محلول

بررسی اثر ضد سرطانی نانو سامانه دارویی کورکومین

که R درصد رهایش تجمعی، V حجم نمونه برداری شده، V_0 حجم ورودی، C_i و C_n غلظت کورکومین را در زمان های مختلف نشان می دهد و m_{drug} جرم کورکومین در نانو ذرات پلی یورتان را نشان می دهد.

کشت سلولی

سلول های ملانومای موشی (F10B16) و رده سلولی سالم فیبروبلاست موشی (L929) از بانک سلولی انسنتیپو پاستور ایران خریداری شد.

این سلول ها در محیط کشت (Dulbecco's DMEM)، شامل ۱۰ درصد سرمه جنین (Modified Eagle's Medium)، ۵۰۰ میکرو گرم / میلی لیتر جیتاماکسین (Gentamicin)، ۳۰۰ میکرو گرم / میلی لیتر گلوتامین (Glutamine)، ۱۰۰ میکرو گرم / میلی لیتر فونگیزون (Fungizone)، ۱۰۰ میکرو گرم / میلی لیتر استرپتومایسین (Streptomycin) و ۱۰۰ واحد / میلی لیتر پنی سیلین (Penicillin) به صورت تک لایه کشت داده می شوند و با ۰/۵ گرم / لیتر تریپسین (Trypsin) و ۰/۲ گرم / لیتر اتیلن دی امین تراکتیک اسید (Ethylenediaminetetraacetic Acid) EDTA شده و برای رسیدن به مرحله نمایی چند بار پاساژ داده می شوند. در همه مراحل سلول ها باید در انکوپاتور در دمای ۳۷ درجه سانتی گراد و فشار CO_2 ۵ درصد انکوبه و نگهداری شوند. تمامی مواد کشت سلول از شرکت Gibco آمریکا خریداری شده اند.

جذب سلولی نانوذرات توسط سلول ها

نور فلورسانس سبز ساطع شده از کورکومین در هنگام تحریک آن با نور فرابنفش، به عنوان روشی برای نمایش میزان ورود و جذب کورکومین به داخل سلول استفاده می شود. بدین منظور سلول ها به مدت ۴ ساعت با غلظت ۲۵ میکرومول نانو کورکومین پلی یورتانی تیمار شده، سپس محیط کشت PBS حاوی دارو خارج و بعد از شستشوی سلول ها با Phosphate Buffered Saline، عکس برداری با

۲۵۰ کیلوژول در ۱۵ ثانیه نانو سامانه پلی یورتان نسبت به کورکومین (۱/۷۵:۱، ۱:۱، ۱/۲۵:۱، ۱/۵:۱، ۱/۷۵:۱، ۲:۱) بارگیری و با دور ۲۱۰۰۰ و به مدت ۳۰ دقیقه ساتریفوژ شد. میزان طی جذبی مقدار کورکومین موجود در مایع رویی جدا شده، پس از خشک کردن کردن منجمد (Freeze Dry) و سپس حل کردن در متانول، در نهایت با استفاده از سیستم اسپکتروسکوپی Perkin Elmer (Fluorescence Spectroscopy) آمریکا) اندازه گیری می شود. نمونه های کورکومین در جذب ۴۲۰ نانومتر و نشر ۶۰۰ تا ۴۳۰ نانومتر و با عرض شکاف ۵ نانومتر بررسی شد.

تعیین نمایه (Profile) رهایش کورکومین از

پلی یورتان

برای تعیین رهایش کورکومین از ذرات پلی یورتان از بافر فسفات (۰/۰۱ مولار و $pH=7/4$) و بافر سیترات (۰/۰۱ مولار و $pH=5/4$) در دمای ۳۷ درجه سانتی گراد استفاده شد. ۱ میلی لیتر از محلول میسلی داخل کیسه دیالیز (Spectrapor)، MW cutoff 3500 gmol-1 از بافر فسفات (۰/۰۱ مولار و $pH=7/4$) و بافر سیترات (۰/۰۱ مولار و $pH=5/4$) به صورت مجزا نیز ریخته شد و تویین ۸۰ Tween 80 (به عنوان یک امولسی فایر Emulsifier) برای بازداری از رسوب احتمالی داروی رهاسازی شده استفاده شد. مطالعه رهایش در دمای ۳۷ درجه سانتی گراد با استفاده از یک حمام آبی ارتعاشی (Shaking Water Bath) (GFL، آلمان) انجام شد. در بازه های زمانی تخصیص داده شده نمونه برداری در ساعات ۰، ۴، ۸، ۱۲، ۲۴، ۴۸، ۷۲ و ۹۶ انجام شد. در هر مرتبه ۳۰۰ ماکرولیتر از هر نمونه الیکوت (Alicot)، منجمد و خشک شد و در ۲ میلی لیتر از متانول حل شد. سپس نمونه ها با استفاده از اسپکتروسکوپی فلورسانس برای تعیین کیفیت رهایش کورکومین بررسی شد. رهایش تجمعی دارو از نانوذره، با استفاده از فرمول زیر محاسبه می شود:

$$R = V \sum_{n=1}^{n=i} C_i + V_0 C_n / m_{drug}$$

آمریکا) خوانده شد [۲۳-۲۸].

استخراج RNA

کل از سلول‌های تیمار شده با PBS یا کورکومین و نانوسامانه کورکومین بارگیری شده با پلی‌یورتان با استفاده از محلول استخراج RNA با روش RNX PLUS (سیناژن، ایران) و بر اساس دستورالعمل ارایه شده شرکت از سلول‌های سرطانی استخراج شد. مقدار ۱ میکرولیتر از DNase I به منظور حذف DNA استفاده شد و به منظور بررسی کمی و کیفی RNA استخراج شده و حصول اطمینان از عدم آلودگی پروتئینی نمونه‌ها، طول موج کلیه نمونه‌ها در طول موج‌های ۲۶۰، ۲۸۰ و ۲۶۰ نانومتر اندازه‌گیری شد و نسبت A₂₆₀/A₂₈₀ برای کلیه نمونه‌ها به دست آمد که این نسبت برای کلیه نمونه‌ها ۱/۸ تا ۱/۸۵ بوده است و نشان از عدم آلودگی پروتئینی دارد. مراحل تهیه cDNA با استفاده از مخلوط آغازگرهای Reverse Transcriptase (Random Hexamer) و پلی A کیت (Bioneer، آلمان) نسخه‌برداری معکوس شد. واکنش RT در حجم نهایی ۳۰ میکرولیتر در حالتی که ۱ میکروگرم از rRNA کل استفاده شد انجام و پس از تهیه cDNA، مقدار ۵ میکرولیتر از آن برای واکنش Real Time-PCR در حجم نهایی ۲۰ میکرولیتر استفاده شد.

واکش نسخه‌برداری معکوس (cDNA Synthesis)

ساخته cDNA بر طبق دستورالعمل PrimScriptTM RT reagent kit (Takara)، (ژپن) انجام گرفت. مخلوط واکنش مطابق دستورالعمل کیت و در حجم نهایی ۱۰ میکرولیتر آماده و ساخت cDNA با استفاده از آغازگرهای الیگو Dt و راندوم هگزامر (Random Hexamer) صورت گرفت. واکنش نسخه‌برداری معکوس در دمای ۳۷ درجه سانتی گراد به مدت ۱۵ دقیقه انجام گرفت. در پایان آنزیم نسخه‌بردار معکوس در شرایط دمایی ۸۵ درجه سانتی گراد به مدت ۵ ثانیه غیر فعال شد.

میکروسکوپ فلورسانس انجام گرفت. به منظور بررسی کارآیی عملکرد حامل‌های پلی‌یورتانی در راستای افزایش حلالیت و دسترسی زیستی کورکومین، یک گروه کنترل از سلول‌ها که با غلظت مساوی از کورکومین تیمار شده بودند، نیز عکس‌برداری شدند.

آزمون MTT برای بررسی و سنجش سمیت

[3-(4, 5-dimethylthiazol-2-yl)-2,5-diphenyl tetrazoliumbromide (MTT) assay] به طور گسترده برای اندازه‌گیری فعالیت‌های متابولیکی سلول‌ها در شرایط برون تنی (In vitro) استفاده می‌شود. اساس این روش بر قابلیت سلول‌های زنده در تبدیل نمک زرد MTT قابل حل در آب به کریستال‌های بنفش غیر قابل حل در آب فورمازان (Formazan) است. برای تهیه ۵ میلی‌گرم از پودر MTT رادر هر ۱ سی سی از بافر فسفات سالین (PBS) حل و سپس محلول MTT به دست آمده با فیلتر ۰/۲ فیلتر شد. برای سنجش به روش MTT از پلیت ۹۶ خانه‌ای استفاده شد. تعداد ۱۰۰۰۰ سلول [هم سلول‌های سالم فیبروبلاست موشی (L929) و هم سلول‌های سرطانی ملانومای موشی (F10B16)] برای هر ۲۰۰ میکرولیتر از محیط کشت تهیه و در هر چاهک ریخته و ۲۴ ساعت به سلول‌ها اجازه رشد و تکثیر داده شد. سپس مقداری مختلف از کورکومین در حلال آلتی DMSO و به نسبت ۲ درصد حجمی / حجمی نسبت به محیط کشت (از غلظت ۰ تا ۶۰ میکرومولار) و همچنین نانوسامانه کورکومین پلی‌یورتان با غلظت‌های مشابه و نانوذره پلی‌یورتان با همین غلظت‌ها به سلول‌ها (با تکرار حداقل ۵ چاهک حاوی سلول برای هر آزمون) تزریق شد. سپس آزمون MTT در زمان‌های ۱۲، ۲۴، ۴۸ و ۷۲ ساعت بعد از تزریق این مواد برای نمونه‌ها انجام شد و بعد از ۴ ساعت انکوباسیون، همه محلول موجود خارج شده و ۱۰۰ میکرولیتر DMSO به هر چاهک اضافه شد. ترکیب حاصل پس از ۵ دقیقه قرار گرفتن روی شیکر (Shaker)، با دستگاه قرائت‌گر الایزا Biochrom Asys Expert 96

بررسی اثر ضد سرطانی نانو سامانه دارویی کورکومین

اولیه در دمایی ۹۵ درجه سانتی گراد به مدت ۱۰ دقیقه و در ادامه ۴۵ چرخه برای واسرشت سازی (۱۵ ثانیه در ۹۵ درجه سانتی گراد) و مرحله اتصال / طویل سازی تؤمن (۱ دقیقه در ۶۰ درجه سانتی گراد) است. برای بررسی اختصاصیت محصول تکثیر شده، منحنی ذوب بررسی شد. نمایه دمایی مرتبط برای رسم منحنی ذوب از دمایی ۶۰ درجه به ۹۵ درجه سانتی گراد بود که افزایش دما ۰/۵ درجه سانتی گراد بر ثانیه قرار داده شده بود که در شکل ۱، منحنی ذوب تمامی ژن ها نشان داده شده است. در انتهای برای محاسبه نسبی تعداد نسخه mRNA تکثیر شده از فرمول $2^{-\Delta\Delta Ct}$ استفاده شد. توالی آغازگرهای مورد استفاده در جدول ۲ آمده است.

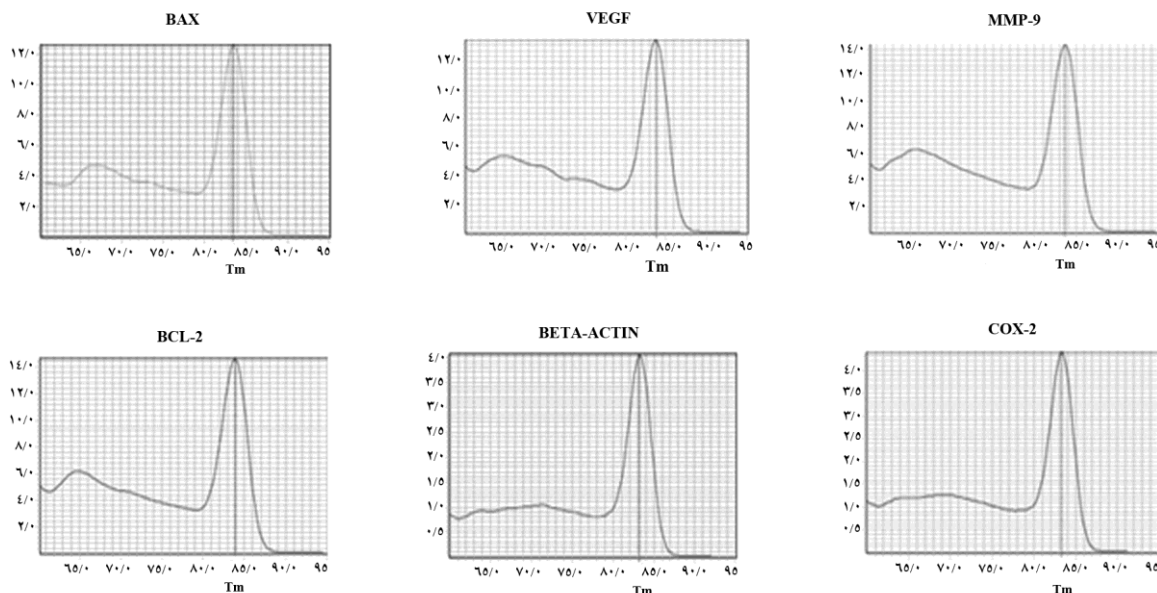
آزمون Real Time-PCR

آزمون Real Time-PCR در دستگاه 7500 USA (Applied Biosystems آمریکا) در حجم ۲۰ میکرولیتر انجام شد. به ازای هر واکنش مقدار مواد براساس جدول ۱ استفاده می شود.

جدول ۱ مقدار مواد مورد نیاز برای هر واکنش در آزمون Real-time PCR

۱۰ میکرولیتر	Master mix (2x) SYBR Green
۵ میکرولیتر	الگو
۰/۴ میکرولیتر	آغازگرها
تقریباً ۲۰ میکرولیتر	ddH ₂ O

شرایط دمایی مورد استفاده شامل یک مرحله فعال سازی



شکل ۱ نمودار منحنی ذوب ژن های استفاده شده در Real Time- PCR

جدول ۲ توالی آغازگرهای مورد استفاده در آزمون Real Time-PCR

طول قطعه تکثیری (جفت باز)	آغازگر برگشت (۵'-۳')	آغازگر رفت (۳'-۵')	ژن
۸۵	GCCGATCCACACGGAGT ACT	CT GGCACCCAGCACAAT G	Beta- actin
۸۷	GTT GTTCACAAT GTTCCAGAC	TGT ACT ACACCT GAATTCTGAC	COX-2
۸۸	GTT GAAGTT GCCGT CAGAAA	AGCT GCAGAGGAT GATT GC	BAX
۹۶	GGCAAAC T GAGCAGAGTC	TGCC TT GT GGAACT GT ACG	BCL-2
۹۵	ACGGCTT GAAGAT GT ACT C	AGT CCCAT GAAGT GATCAAG	VEGF
۸۸	ACT GGAAGAT GT CGT GT GAG	GT GT CT GGAGATT CGACTTG	MMP-9

قابل توجه است. اندازه به دست آمده از دو روش مذکور با تجزیه و تحلیل اندازه 50 نانو ذره به ترتیب $61/51 \pm 2/2$ و $63/11 \pm 1/3$ است. متوسط قطر هیدرودینامیک نانو ذره بارگیری شده کورکومین و پراکنش چندگانه آن، در دمای 25 درجه سانتی گراد و با استفاده از روش پراکنش نوری دینامیک، به ترتیب $1/7 \pm 1/7$ و $62/37 \pm 2/5$ نانومتر و $0/091 \pm 0/091$ است که با متوسط پتانسیل زتای سطح نانوذره در ولتاژ $-32 \pm 0/9$ میلی ولت مشاهده شد. تمامی مشاهدات نشان دهنده شباهت قابل توجه داده های حاصل از سه آزمایش تعیین ریخت شناسی و اندازه نانوذره بود که بدین ترتیب در هر سه آزمون اندازه حدود 61 تا 63 نانومتر و در عکس های حاصل از میکروسکوپ های نیروی اتمی و الکترونی رویشی ریخت شناسی کروی برای نانومیسل پلی بورتان تأیید شد (شکل ۲، الف و ب).

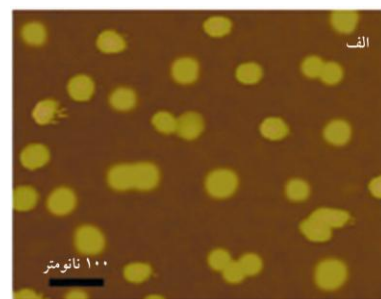
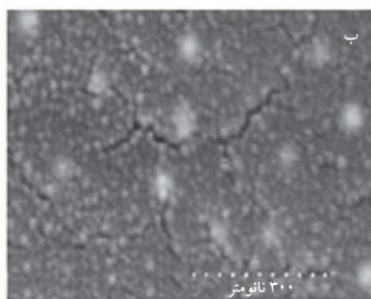
تجزیه و تحلیل آماری

برای انجام مطالعات آماری از SPSS نسخه ۱۶ استفاده شد. اختلاف آماری بین گروه های کنترل، تیمار شده با استفاده از t -test بررسی و مقادیر به دست آمده با $P < 0/05$ از نظر آماری معنی دار در نظر گرفته شد.

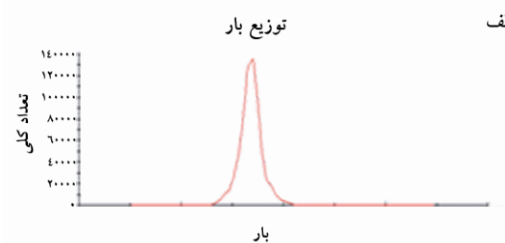
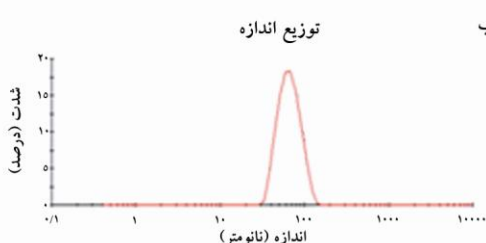
نتایج

نتایج حاصل از تعیین ویژگی های ریخت شناختی و اندازه نانوذرات

شکل حاصل از میکروسکوپ الکترونی رویشی انتشار میدان و میکروسکوپ نیروی اتمی نشان داد که نانوذرات حاصل دارای شکلی کروی و با پراکنش مناسب و بدون تجمع



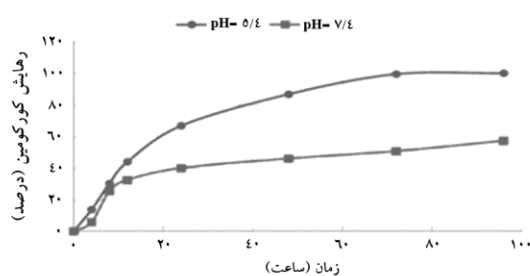
شکل ۲ تعیین ویژگی های ریخت شناختی و اندازه نانوذرات پلی بورتان با استفاده از تصاویر میکروسکوپ نیروی اتمی (الف) و میکروسکوپ الکترونی رویشی انتشار میدان از نانوذره پلی بورتان (ب)



شکل ۳ تصویر حاصل از اندازه گیری اندازه، بار (الف) و پراکنش چندگانه (ب) نانوذره پلی بورتان بارگیری شده با کورکومین با استفاده از دستگاه پراکنش نوری دینامیک

بررسی اثر ضد سرطانی نانوسامانه دارویی کورکومین

پلیمری در زمان ۹۶ ساعت اتفاق می‌افتد و در این زمان در $\frac{7}{4}$ pH در مقایسه با $\frac{5}{4}$ pH = ۵/۴ آهسته‌تر است. تحت شرایط مطالعه در ۴۸ ساعت رهایش کورکومین در $\frac{7}{4}$ pH = ۷/۴ و pH = ۵/۴ به ترتیب ۴۵/۸۷ و ۸۶/۷۲ درصد و در زمان ۷۲ ساعت به ترتیب ۵۰/۵۴ و ۹۹/۴۱ درصد و در ۹۶ ساعت به ترتیب ۵۷/۱۱ و ۱۰۰ درصد است.



شکل ۴ نمایه رهایش کورکومین از نانو ذره پلی‌بورتان در دو pH متفاوت ($\frac{7}{4}$ (بافر سففات) و $\frac{5}{4}$ (بافر سیترات))

افزایش حلالیت و دسترسی زیستی کورکومین به سلول‌های سرطانی توسط حامل‌های

پلی‌بورتانی

عکس‌برداری فلورسنت برای بررسی ورود کورکومین به سلول‌های سرطانی و بر پایه فلورسنت ذاتی این مولکول انجام گرفت.

همان‌طور که در شکل ۵ نشان داده شده است، سلول‌های تیمار شده با نانو کورکومین پلی‌بورتانی به واسطه ورود کورکومین در نتیجه افزایش حلالیت کورکومین، در عکس‌برداری با میکروسکوپ فلورسنت به رنگ سبز دیده می‌شود و این درحالی است که در سلول‌های تیمار شده با کورکومین آزاد و به دلیل نامحلول بودن این مولکول در محیط‌های آبی، کورکومین به شکل ذرات نامحلول و سبز در فضای بین سلولی قابل مشاهده است.

نتایج حاصل از بارگیری کورکومین در نانو ذرات پلی‌بورتان

پس از آماده‌سازی نانو سیستم کورکومین بارگیری شده با پلی‌بورتان، این ترکیب سانتریفوژ شده و مقداری از کورکومین موجود در ماده رویی جمع‌آوری و توسط یک طیفسنج (Amersham، سوئد) در طول موج ۴۳۲ نانومتر اندازه‌گیری شد. میزان بازده کپسوله‌سازی کورکومین در نانو ذره پلی‌بورتان تعیین شد که حدود $۰/۲ \pm ۸۷$ بود. فرمولاسیون میسلی پایداری کلوییدی عالی و نگهداری دارویی خوبی در این مدت را نشان می‌دهد.

میزان بازده کپسوله‌سازی با استفاده از معادله زیر به دست می‌آید:

$$\text{درصد بازده کپسوله شدن} = [\text{مقدار کلی کورکومین} - (\text{کورکومین نانو کپسوله شده}) / \text{مقدار کلی کورکومین}] \times 100$$

در جدول ۳ نسبت‌های مختلف دارو به نانو ذره و بازده بارگیری حاصل از این نسبت‌ها آورده شده است.

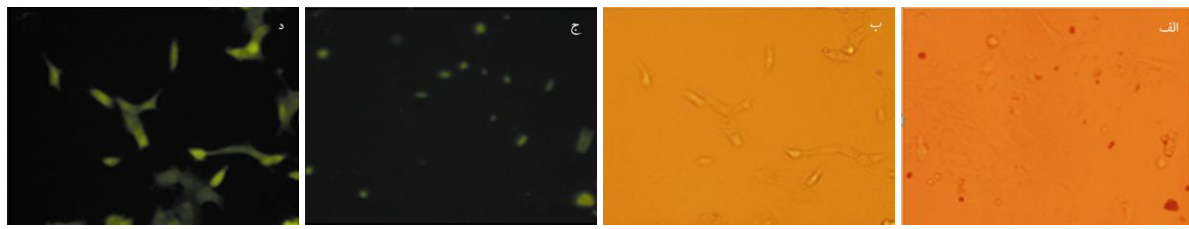
جدول ۳ نسبت‌های مختلف دارو به نانو ذره و بازده بارگیری

غلاظت نانو ذره (میلی گرم)	غازدۀ بارگیری (درصد)	غازدۀ بارگیری (میلی گرم)
$۵/۳ \pm ۲/۴$	$۰/۷۵$	۱
$۶/۲ \pm ۱/۷$	۱	۱
$۷/۵ \pm ۱/۳$	$۱/۲۵$	۱
$۸/۷ \pm ۰/۲$	$۱/۵$	۱
$۷/۹ \pm ۱/۵$	$۱/۷۵$	۱
$۷/۷ \pm ۱/۴$	۲	۱

بررسی نسبت‌های مختلف کورکومین به نسبت ثابت پلی‌بورتان نشان داد که بهترین نسبت برای مقدار پلی‌بورتان به کورکومین $۱/۵$ به ۱ است.

نتایج رهایش کورکومین از نانوذرات پلی‌بورتان

مطلوب شکل ۴، رهایش کامل کورکومین از میسل‌های

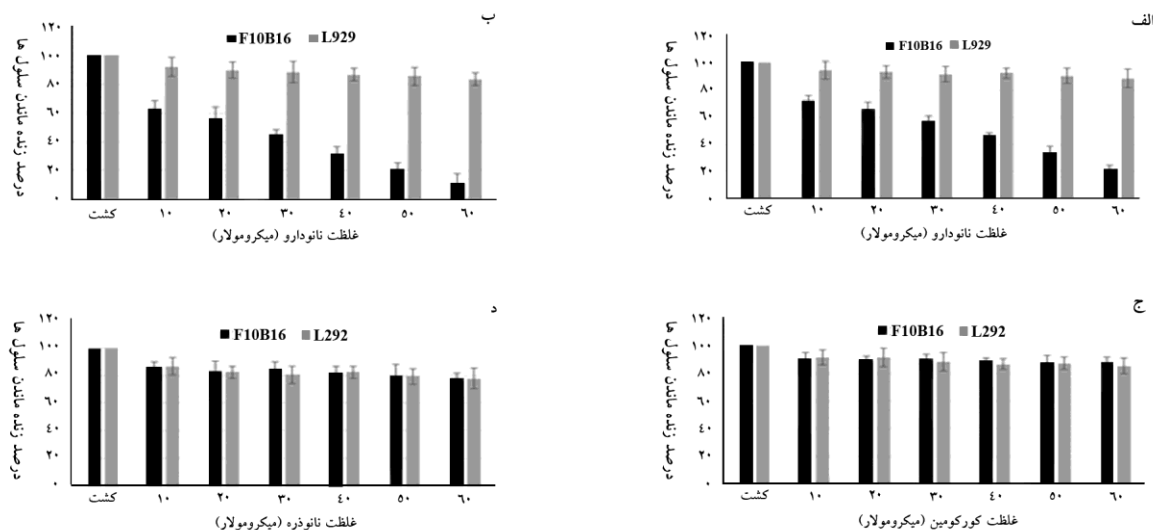


شکل ۵ مطالعه ورود نانو کورکومین پلی یورتانی در رده سلولی F10B16 با استفاده از میکروسکوپ فلورسنت (بزرگنمایی ۴۰ \times): تصویر میکروسکوپ نوری سلول‌های تیمار شده با کورکومین (الف)، تصویر میکروسکوپ نوری سلول‌های تیمار شده با نانوکورکومین پلی یورتانی (ب)، تصویر میکروسکوپ نور فلورسنت سلول‌های تیمار شده با نانوکورکومین پلی یورتانی (ج) و تصویر میکروسکوپ نور فلورسنت سلول‌های تیمار شده با نانوکورکومین پلی یورتانی (د)

پلی یورتان - کورکومین به صورت معنی‌دار ($P < 0.01$) از تکثیر سلول‌های سرطانی، هم از لحاظ زمانی و هم از لحاظ غلطت، در مقایسه با نانوذره خالی و کورکومین به تنها، جلوگیری L929 می‌کند اما تغییر معنی‌داری در تکثیر سلول‌های سالم IC₅₀ نشان می‌دهد که این مقدار برای زمان ۲۴ و ۴۸ ساعت به ترتیب ۳۷۲ و ۲۵/۴ میکرومولار است. علاوه بر این، هر دو تیمار نانوذره و کورکومین به تنها، اثر کشنده‌گی قابل توجه و معنی‌داری را در هیچ یک از غلطت‌های مذکور، از خود نشان ندادند.

نتایج آزمون MTT

اثر کورکومین، نانوذره پلی یورتان و نانوسامانه کورکومین بارگیری شده با پلی یورتان روی رده سرطانی ملانومای موشی F10B16 و سلول سالم فیبروبلاست L929 با استفاده از آزمون MTT در زمان‌های مختلف بعد از تزریق ترکیبات مورد نظر (۲۴ و ۴۸ ساعت) بررسی و به صورت نمودار نمایش داده شده است (شکل ۶). در ابتدا غلطت‌های مختلف نانو فرمولاسیون کورکومین (۱۰ تا ۶۰ میکرومولار) فراهم و به سلول‌ها تزریق شد و بعد از ۲۴ و ۴۸ ساعت با استفاده از آزمون MTT سنجش و ارزیابی انجام شد. نانو داروی



شکل ۶ بررسی اثر غلطت‌های مختلف (از ۰ تا ۶۰ میکرومولار) نانوذاروی کورکومین - پلی یورتان تزریق شده بعد از ۲۴ (الف) و ۴۸ ساعت (ب)، نانوذره پلی یورتان (ج) و کورکومین (د) بعد از ۴۸ ساعت بر سلول‌های سرطانی F10B16 و سالم L929

بحث

کورکومین دارای خواص دارویی بسیار زیادی از قبیل خواص ضد اکسیدانت، ضد جهش، ضد تومور و سرطان، مقابله با رگ‌زایی تومور (Angiogenesis)، ضد کلسترول و باکتری است [۱۳-۵]. اما این ماده با وجود خواص دارویی بسیار قوی نمی‌تواند به طور گسترده در درمان بیماری‌ها استفاده شود که این ناشی از عدم قابلیت انجال آن در آب و در نتیجه فراهمی زیستی (Bioavailability) ضعیف آن در محیط بدن است. گزارش‌های مختلف بیان می‌کند که حلالیت کورکومین وقتی در برخی ناقل‌های دارویی حل شده یا کپسوله می‌شود افزایش می‌یابد [۴]. در این مطالعه فرض شده است که نانوذرات آب‌دوست پلی‌یورتان می‌تواند پایداری و زیست‌سازگاری کورکومین را بالا برده و زمان حضور در گردش خون را افزایش دهد و بنابراین می‌توان از آثار ضد توموری آن استفاده کرد. بنابراین در این مطالعه یک فرمولاسیون جدید از ترکیبی از نانوذره پلی‌یورتان به همراه کورکومین ساخته و اثر آن بر درمان رده سلولی ملانومای موشی و سلول سالم بررسی شده است. مطالعات نشان داده است که نانوذرات کوچک‌تر از ۱۰ نانومتر می‌تواند به سرعت از طریق سیستم دفع کلیوی یا نشت عروقی (Extravasation) دفع شود، حال آن‌که نانوذرات بسیار بزرگ‌تر، ممکن است با احتمال بیشتری توسط سیستم فاگوцитی تک هسته‌ای (Mononuclear Phagocytes) شناسایی و دفع شود [۳۰، ۲۹] بنابراین بهمنظور هر چه بیشتر کردن اثر افزایش نفوذپذیری و نگهداری [Enhanced Permeability and Retention (EPR) Effect گریز مؤثر از موانع فیزیولوژیکی، بسیاری از مطالعات، اندازه تقریبی بین ۱۰ تا ۲۵۰ نانومتر را بهمنظور اهداف تحویل دارو مناسب می‌دانند [۳۰]. بر این اساس نانو داروی پلی‌یورتانی که با بعد $1/7 \pm 62/37$ نانومتر ساخته شده است، دارای ابعادی بسیار مناسب برای اهداف تحویل دارو است. پس از بارگیری نمودن کورکومین با نانوذره پلی‌یورتان به بررسی ویژگی‌های نانوسامانه

نتایج بررسی بیان کمی ژن‌ها با Real Time RT-PCR

نتایج نشان می‌دهد که بیان ژن‌های MMP-9، VEGF و COX-2 که زیردست عامل رونویسی Nuclear Factor-κB (NF-κB) فعالیت می‌کنند در اکثر سرطان‌ها دچار بیش بیان شده و باعث پیش روی تومور می‌شوند. بیان این ژن‌ها متأثر از کورکومین نیز هست چرا که کورکومین در عده سرطان‌ها عامل NF-κB را از کار می‌اندازد که به نوبه خود در بیان ژن‌های مذکور نیز تأثیر می‌گذارد. نتایج تحقیق حاضر نشان داد که بیان ژن‌های MMP-9، VEGF و COX-2 در هر دو گروه نانوپلی‌یورتان دارای کورکومین و کورکومین تنها، به طور معنی‌داری کاهش می‌یابد ($P < 0.05$). بیان ژن Bcl-2 به طور قابل توجهی در شدیدتر است (شکل ۷). بیان ژن BAX می‌یابد که در مورد ژن BAX، افزایش بیان می‌یابد ($P < 0.05$) در حالی که در مورد ژن Bcl-2 نسبت به کورکومین تنها کاهش نمایی ۲ برابر نانوپلی‌یورتان دارای کورکومین و کورکومین مشاهده شد. نسبت ژن BAX/Bcl-2 در گروه نانوپلی‌یورتان دارای کورکومین نسبت به کورکومین تنها اختلاف معنی‌داری را نشان داد ($P < 0.05$). نتایج نانوپلی‌یورتان به تنهایی مشابه با نتایج PBS بود به همین دلیل نتایج آورده نشد. این آزمایش در سه تکرار انجام شد.



شکل ۷ میزان بیان ژن‌های COX-2، MMP-9، VEGF، BAX و Bcl-2 در سه گروه کنترل PBS گروه تیمارشده با کورکومین و گروه تیمار شده با نانوسامانه حاوی کورکومین

کشندگی بسیار اندک آنها است. این داده‌ها با نتایج حاصل از بررسی آثار تیمارهای مشابه نانو کورکومین دندروزومی مطابقت داشت [۳۲]. بنابراین تأثیر نانو دارو به طور اختصاصی فقط روی سلول‌های سرطانی است و روی سلول‌های سالم اثری ندارد که این به دلیل اختصاصی عمل کردن داروی کورکومین در مورد هدف قرار دادن مؤثرتر سلول‌های سرطانی نسبت به سلول‌های سالم است؛ به همین دلیل است که تأثیر آن روی سلول‌های سرطانی بیشتر است [۳۳]. از طرفی نانوذره سمتی نداشته و کاملاً زیست‌سازگار بوده و دارو هم اثری روی کاهش تکثیر سلول‌ها ندارد که این به خاطر از بین رفتن اثر دارو به علت نیمه عمر پایین آن است. اگرچه تأثیر نانو حامل‌های پلیمری مختلف مانند پلی‌اتیلن‌آیمین (Polyacrylate) و پلی‌اکریلات (Polyethylenimine) در انتقال مؤثر داروی کورکومین به سلول‌های هدف و تأثیر قابل توجه آنها بررسی شده است اما ترکیب نانو داروی کورکومین - پلی‌بورتان نه تنها تأثیر معنی‌دارتری در بازداری و ممانعت از رشد سلول‌های سرطانی نشان داده است، بلکه شواهد نشان دهنده عدم سمتی قابل توجه آن روی سلول‌های سالم است [۳۴، ۳۵]. علاوه بر این نانوذره پلی‌بورتان برای انتقال داروهای آب‌گریز دیگری از جمله پاکلی‌تاکسول (Paclitaxel) نیز استفاده شده است که نتایج بسیار قابل توجهی را در بر داشته است [۳۶]. اما در این مطالعه برتری حاصل ناشی از هدفمند بودن نانوذره به علت وجود گروههای تری‌اتانول‌آیمین روی آن و همچنین اختصاصی عمل کردن کورکومین روی سلول‌های سرطانی و دارا بودن اثر کشندگی بیشتر آن نسبت به سلول‌های سرطانی است [۳۳]. نتایج Real Time-PCR نیز نشان می‌دهد که نانوپلی‌بورتان دارای کورکومین به مقدار قابل توجهی میزان بیان mRNA ژن‌های VEGF، Bcl-2، COX-2 و MMP-9 را کاهش می‌دهد در حالی که باعث افزایش بیان ژن BAX می‌شود. تیمار کورکومین در مقایسه با فرمولاسیون نانوسامانه‌ای آن، به نسبت بسیار کمتری باعث کاهش بیان ژن‌های VEGF، Bcl-2، COX-2 و MMP-9 می‌شود و بیان ژن BAX را نیز کمتر از

ایجاد شده پرداخته شد.

میزان بازده کپسوله‌سازی کورکومین در نانوذره پلی‌بورتان حدود $87 \pm 0/2$ درصد بود که فرمولاسیون میسلی پایداری کلوبیدی عالی و نگهداری دارویی خوبی در این مدت را نشان می‌دهد. سیستم طیف سنجی فلورسانس مقدار ۸۷ درصد را برای کپسوله کردن کورکومین در پلی‌بورتان نشان می‌دهد که این نتایج بیانگر این است که با رگیری دارو در نانوذره به خوبی انجام شده و از نسبت بالایی برخوردار است. علاوه بر این؛ نانوذرات در هنگام مجاورت با محیط اسیدی رفتار هوشمندانه‌ای را در رهایش دارو از خود نشان می‌دهد به این ترتیب که به علت قرار گرفتن در محیط اسیدی سلول‌های سرطانی، داروی بیشتری را از خود رهایش می‌کنند. در نتایج حاصل از تصاویر میکروسکپ فلورسانس برای تعیین میزان جذب و ورود دارو به درون سلول نشان می‌دهد که کورکومین به میزان بالایی وارد سلول‌ها شده است و بنابراین کشندگی ناشی از تزریق نانوسامانه به سلول‌ها ناشی از ورود و نفوذ کورکومین به درون سلول و آسیب به قسمت‌ها و بخش‌های حساس درون سلول است. مطالعات متعددی، اثر ضد توموری کورکومین را در رابطه با انواع مختلف سرطان‌ها از جمله سرطان سینه، ریه، پروستات، تخمدان، روده، پانکراس، مغز، پوست و غیره را چه در مطالعات برونتنی و چه در مطالعات درون‌تنی (In vivo) نشان داده است [۳۱]. در این مطالعه نتایج حاصل از بررسی‌های درون‌تنی با استفاده از آزمون MTT نشان داد که در هر دو زمان ۲۴ و ۴۸ ساعت بعد از درمان برای سلول‌های F10B16 با افزایش غلظت نانو داروی کورکومین پلی‌بورتانی درصد بقای سلول‌ها کاهش می‌یابد و IC50 برای هر دو زمان ۲۴ و ۴۸ ساعت حدوداً در غلظت‌های ۳۷۲ و ۲۵۴ ماکرومولار اتفاق می‌افتد. این درحالی است که برای سلول‌های سالم، کشندگی حاصل از نانو دارو ناچیز بوده و برای این غلظت‌های به کار رفته IC50 ندارد. بررسی تأثیر نانوذره و داروی کورکومین به طور جداگانه و با غلظت‌های مختلف به هر دو رده سرطانی و سالم نشان دهنده تأثیر

بررسی اثر ضد سرطانی نانو سامانه دارویی کورکومین

علاوه بر آن خود نانوذره خاصیت کشندگی ندارد و کاملاً زیست‌سازگار است و در نتیجه اثری روی کاهش تکثیر سلول‌ها ندارد.

تشکر و قدردانی

بدین‌وسیله از مسئولین محترم آزمایشگاه‌های ایمونولوژی و بیوفیزیک دانشگاه تربیت مدرس که کلیه امکانات را فراهم نمودند و همچنین مسئولین پژوهشگاه پلیمر و پتروشیمی ایران و دانشگاه تهران که در این امر نقش مهمی را ایفا نمودند تشکر و قدردانی می‌شود.

تیمار فرمولاسیون نانویی آن افزایش می‌دهد. همچنین نتایج حاصل از نانوذرات پلی‌پورتانی با PBS مشابهت کامل داشت که نشان دهنده عدم القای آثار مرگ برنامه ریزی شده سلولی روی سلول‌های تیمار شده است.

نتایج حاصل از آزمون MTT روی سلول‌های سرطان ملانومای موشی (F10B16) و سلول‌های سالم فیروبلاست موشی (L929) نشان دهنده تأثیر نانو دارو فرموله شده به‌طور اختصاصی روی سلول‌های سرطانی است در حالی که روی سلول‌های سالم کشندگی معنی‌داری ندارد که اختصاصی عمل کردن داروی کورکومین در از بین بردن مؤثرتر سلول‌های سرطانی نسبت به سلول‌های سالم دلیل عمدۀ این یافته است.

منابع

- [1] Lee KW, Bode AM, Dong Z. Molecular targets of phytochemicals for cancer prevention. *Nat Rev Cancer* 2011; 11(3): 211-8.
- [2] Shapira A, Livney YD, Broxterman HJ, Assaraf YG. Nanomedicine for targeted cancer therapy: towards the overcoming of drug resistance. *Drug Resist Updat* 2011; 14(3): 150-63.
- [3] Aziz K, Nowsheen S, Georgakilas AG. Nanotechnology in cancer therapy: targeting the inhibition of key DNA repair pathways. *Curr Mol Med* 2010; 10(7): 626-39.
- [4] Bharali DJ, Siddiqui IA, Adhami VM, Chamcheu JC, Aldahmash AM, Mukhtar H, Mousa SA. Nanoparticle delivery of natural products in the prevention and treatment of cancers: current status and future prospects. *Cancers (Basel)* 2011; 3(4): 4024-45.
- [5] Goel A, Kunnumakkara AB, Aggarwal BB. Curcumin as "Curecumin": from kitchen to clinic. *Biochem Pharmacol* 2008; 75(4): 787-809.
- [6] Aggarwal BB, Sung B. Pharmacological basis for the role of curcumin in chronic diseases: an age-old spice with modern targets. *Trends Pharmacol Sci* 2009; 30(2): 85-94.
- [7] Kunnumakkara AB, Anand P, Aggarwal BB. Curcumin inhibits proliferation, invasion, angiogenesis and metastasis of different cancers through interaction with multiple cell signaling proteins. *Cancer Lett* 2008; 269(2): 199-225.
- [8] Aggarwal BB, Harikumar KB. Potential therapeutic effects of curcumin, the anti-inflammatory agent, against neurodegenerative, cardiovascular, pulmonary, metabolic, autoimmune and neoplastic diseases. *Int J Biochem Cell Biol* 2009; 41(1): 40-59.
- [9] Chattopadhyay I, Biswas K, Bandyopadhyay U, Banerjee RK. Turmeric and curcumin: biological actions and medicinal applications. *J Curr Sci* 2004; 87(1): 44-53.
- [10] Shailendra D, Pawar N, Chanchal A, Pandey

- RP, Bohidar HB, Verma AK. Characterization and antimicrobial activity of nanocurcumin and curcumin. International Conference on Nanoscience, Technology and Societal Implications 2011; 1-7.
- [11] Sharma RA, Gescher AJ, Steward WP. Curcumin: the story so far. *Eur J Cancer* 2005; 41(13): 1955-68.
- [12] Gupta NK, Dixit VK. Bioavailability enhancement of curcumin by complexation with phosphatidyl choline. *J Pharm Sci* 2011; 100(5): 1987-95.
- [13] Shishodia S, Chaturvedi MM, Aggarwal BB. Role of curcumin in cancer therapy. *Curr Probl Cancer* 2007; 31(4): 243-305.
- [14] Shoba G, Joy D, Joseph T, Majeed M, Rajendran R, Srinivas PS. Influence of piperine on the pharmacokinetics of curcumin in animals and human volunteers. *Planta Med* 1998; 64(4): 353-6.
- [15] Narayanan NK, Nargi D, Randolph C, Narayanan BA. Liposome encapsulation of curcumin and resveratrol in combination reduces prostate cancer incidence in PTEN knockout mice. *Int J Cancer* 2009; 125(1): 1-8.
- [16] Subramaniam D, May R, Sureban SM, Lee KB, George R, Kuppusamy P, Ramanujam RP, Hideg K, Dieckgraefe BK, Houchen CW, Anant S. Diphenyl difluoroketone: a curcumin derivative with potent in vivo anticancer activity. *Cancer Res* 2008; 68(6): 1962-9.
- [17] Bisht S, Feldmann G, Soni S, Ravi R, Karikar C, Maitra A, Maitra A. Polymeric nanoparticle-encapsulated curcumin ("nanocurcumin"): a novel strategy for human cancer therapy. *J Nanobiotechnology* 2007; 5: 3.
- [18] Cho K, Wang X, Nie S, Chen ZG, Shin DM. Therapeutic nanoparticles for drug delivery in cancer. *Clin Cancer Res* 2008; 14(5): 1310-6.
- [19] Hafeman AE, Zienkiewicz KJ, Carney E, Litzner B, Stratton C, Wenke JC, Guelcher SA. Local delivery of tobramycin from injectable biodegradable polyurethane scaffolds. *J Biomater Sci Polym Ed* 2010; 21(1): 95-112.
- [20] Mei L, Sun H, Song C. Local delivery of modified paclitaxel-loaded poly(epsilon-caprolactone)/pluronic F68 nanoparticles for long-term inhibition of hyperplasia. *J Pharm Sci* 2009; 98(6): 2040-50.
- [21] Hung WC, Shau MD, Kao HC, Shih MF, Cherng JY. The synthesis of cationic polyurethanes to study the effect of amines and structures on their DNA transfection potential. *J Control Release* 2009; 133(1): 68-76.
- [22] Khosroushahi AY, Naderi-Manesh H, Yeganeh H, Barar J, Omidi Y. Novel water-soluble polyurethane nanomicelles for cancer chemotherapy: physicochemical characterization and cellular activities. *J Nanobiotechnology* 2012; 10: 2.
- [23] Movasaghi Z, Rehman S, Rehman IU. Fourier Transform Infrared (FTIR) Spectroscopy of Biological Tissues. *J Applied Spectroscopy Reviews* 2008; 43(2): 134-79.
- [24] Price P, McMillan TJ. Use of the tetrazolium assay in measuring the response of human tumor cells to ionizing radiation. *Cancer Res* 1990; 50(5): 1392-6.
- [25] Sieuwerts AM, Klijn JG, Peters HA, Foekens JA. The MTT tetrazolium salt assay

- scrutinized: how to use this assay reliably to measure metabolic activity of cell cultures in vitro for the assessment of growth characteristics, IC₅₀-values and cell survival. *Eur J Clin Chem Clin Biochem* 1995; 33(11): 813-23.
- [26] Malich G, Markovic B, Winder C. The sensitivity and specificity of the MTS tetrazolium assay for detecting the in vitro cytotoxicity of 20 chemicals using human cell lines. *Toxicology* 1997; 124(3): 179-92.
- [27] Kesharwani P, Tekade RK, Gajbhiye V, Jain K, Jain NK. Cancer targeting potential of some ligand-anchored poly(propylene imine) dendrimers: a comparison. *Nanomedicine* 2011; 7(3): 295-304.
- [28] Buch K, Peters T, Nawroth T, Sänger M, Schmidberger H, Langguth P. Determination of cell survival after irradiation via clonogenic assay versus multiple MTT Assay--a comparative study. *Radiat Oncol* 2012; 7: 1.
- [29] Kim WH, Chon CY, Moon YM, Kang JK, Park IS, Choi HJ. Effect of anticancer drugs and desferrioxamine in combination with radiation on hepatoma cell lines. *Yonsei Med J* 1993; 34(1): 45-56.
- [30] Petros RA, DeSimone JM. Strategies in the design of nanoparticles for therapeutic applications. *Nat Rev Drug Discov* 2010; 9(8): 615-27.
- [31] Alexis F, Pridgen E, Molnar LK, Farokhzad OC. Factors affecting the clearance and biodistribution of polymeric nanoparticles. *Mol Pharm* 2008; 5(4): 505-15.
- [32] Strimpakos AS, Sharma RA. Curcumin: preventive and therapeutic properties in laboratory studies and clinical trials. *Antioxid Redox Signal* 2008; 10(3): 511-45.
- [33] Wilken R, Veena MS, Wang MB, Srivatsan ES. Curcumin: A review of anti-cancer properties and therapeutic activity in head and neck squamous cell carcinoma. *Mol Cancer* 2011; 10: 12.
- [34] Babaei E, Sadeghizadeh M, Hassan ZM, Feizi MA, Najafi F, Hashemi SM. Dendrosomal curcumin significantly suppresses cancer cell proliferation in vitro and in vivo. *Int Immunopharmacol* 2012; 12(1): 226-34.
- [35] Aggarwal BB, Sung B. Pharmacological basis for the role of curcumin in chronic diseases: an age-old spice with modern targets. *Trends Pharmacol Sci* 2009; 30(2): 85-94.
- [36] Huang MT, Newmark HL, Frenkel K. Inhibitory effects of curcumin on tumorigenesis in mice. *J Cell Biochem Suppl* 1997; 27: 26-34.